原材料 · 配方

氧化石墨烯在半导体加工用O形圈 全氟醚橡胶材料中的应用

张世鑫1.魏海东1.储 民2

(1. 浙江创城高分子材料有限公司, 浙江 绍兴 310000; 2. 北京橡胶工业研究设计院有限公司, 北京 100143)

摘要:研究氧化石墨烯(GO)用量对GO/全氟醚橡胶(FFKM)复合材料物理性能、压缩永久变形和耐介质性能的影 响。结果表明:随着GO用量的增大,GO/FFKM复合材料的邵尔A型硬度和高温压缩永久变形变化不大,拉伸强度和 撕裂强度先增大后减小;当GO用量为1份时,GO/FFKM复合材料的拉伸强度和撕裂强度最大,耐介质性能较好。GO/ FFKM复合材料适用于制备半导体加工用O形圈。

关键词:氧化石墨烯;全氟醚橡胶;复合材料;O形圈;压缩永久变形;耐介质性能

中图分类号:TO330.38+3:TO333.93

文献标志码:A

文章编号:1000-890X(2022)04-0279-05

DOI: 10. 12136/j. issn. 1000-890X. 2022. 04. 0279



(扫码与作者交流)

氧化石墨烯(GO)作为石墨烯的一种重要含 氧衍生物,虽然在结构上存在较多的晶格缺陷,导 致其导电、导热等性能比石墨烯有所下降,难以制 备对其结构完整性要求严格的纳米复合材料,但 在制备具有优异的力学性能、耐磨性能、吸附性等 纳米复合材料方面仍具有巨大的优势[1-3]。此外, GO结构中富含羧基、羟基以及环氧基等多种极性 含氧官能团,这些基团可使GO在水分散性、两亲 性、可改性程度以及与聚合物基体相容性等方面 均比石墨烯具有明显的优势[4-8]。

全氟醚橡胶(FFKM)密封件几乎具备了耐所 有介质和耐高温的能力,其高温下保持弹性和密 封性的能力也远超其他弹性体[9-14]。由于半导体 加工过程通常在极端的辐射、热及化学介质环境 中[15-19],因此对其加工用O形圈的FFKM材料的要 求非常高。

本工作研究GO用量对GO/FFKM复合材料物 理性能、压缩永久变形和耐介质性能的影响。

1 实验

1.1 原材料

FFKM, 工业级, 比利时SOLVAY公司产品: GO, 工业级, 山东利特纳米技术有限责任公司产 品;硫化剂双2,5,分析纯,实验室自制。

1.2 基本配方

FFKM 100,GO 0~2,硫化剂双2,5 适量。

1.3 主要设备和仪器

BR1600型密炼机,美国法雷尔公司产品;X (S) K-160型开炼机,大连华韩橡塑机械有限公司 产品:100T平板硫化机,临清市聚威液压机械厂产 品;原子力显微镜(AFM),德国布鲁克分析仪器公 司产品;能谱分析(EDS)仪,赛默飞世尔科技(中 国)有限公司产品:XL-A型邵氏硬度计,上海祈色 贸易有限公司产品;RG1-30A型微机控制电子万 能试验机,深圳三思纵横科技股份有限公司产品; 401A型老化试验箱,江苏新真威试验机械有限公

作者简介: 张世鑫(1984—), 男, 辽宁辽阳人, 浙江创城高分子材料有限公司高级工程师, 硕士, 主要从事橡塑产品研发工作。

E-mail: 148030124@qq. com

引用本文: 张世鑫, 魏海东, 储民. 氧化石墨烯在半导体加工用O形圈全氟醚橡胶材料中的应用[J]. 橡胶工业, 2022, 69(4): 279-283.

Citation: ZHANG Shixin, WEI Haidong, CHU Min. Application of graphene oxide in perfluoroether rubber materials of O-ring for semiconductors processing[J]. China Rubber Industry, 2022, 69 (4): 279-283.

1.4 试样制备

1.4.1 GO/FFKM复合材料的制备

先对FFKM进行塑炼,再将GO及硫化剂双2,5 投入密炼机中混炼5~8 min;排胶至开炼机压片冷却,得到GO/FFKM复合材料的混炼胶。

将混炼胶放入模具中,在平板硫化机上进行一段硫化,硫化条件为160 $\mathbb{C}/13$ MPa×20 min,硫化完成后取出模具,使其自然冷却并脱模。一段硫化胶放入真空烘箱中进行二段硫化,硫化条件为220 $\mathbb{C}\times24$ h,取出后自然冷却。

1.4.2 半导体加工用O形圈的制备

将GO/FFKM复合材料的混炼胶定量放入O 形圈模具中,在平板硫化机上进行一段硫化,硫化 条件为160 ℃/15 MPa×25 min,硫化完成后取出 模具,使其自然冷却并脱模。一段硫化O形圈放入 真空烘箱中进行二段硫化,硫化条件为220 ℃×24 h,取出后自然冷却。

1.5 测试分析

- (1)微观形态。采用AFM观察GO的微观形态 并获得尺寸分布曲线,采用EDS仪对GO进行元素 分析。
 - (2) 邵尔A型硬度。按照GB/T 531.1-2008

《硫化橡胶或热塑性橡胶 压入硬度试验方法 第1 部分:邵氏硬度计法(邵尔硬度)》进行测试。

- (3) 拉伸强度。按照GB/T 528—2008《硫化橡胶或热塑性橡胶 拉伸应力应变性能的测定》进行测试。
- (4) 撕裂强度。按照GB/T 529—2008《硫化橡胶或热塑性橡胶撕裂强度的测定》进行测试。
- (5) 压缩永久变形。按照GB/T 7759.1—2015《硫化橡胶或热塑性橡胶 压缩永久变形的测定 第1部分在常温及高温条件下》进行测试。
- (6) 耐介质性能。按照GB/T 1690—2010 《硫化橡胶或热塑性橡胶 耐液体试验方法》进行 测试。

2 结果与讨论

2.1 GO的微观形态

GO的微观形态及尺寸分布曲线如图1所示。 从图1可以看出:GO薄片大小均匀,分散良好, 有利于提高GO/FFKM复合材料的均匀一致性; GO薄片大部分厚度约为1 000×10⁻¹² m,说明GO 为单层结构。GO片径约为800×10⁻¹² m,具有优良的补强性能。

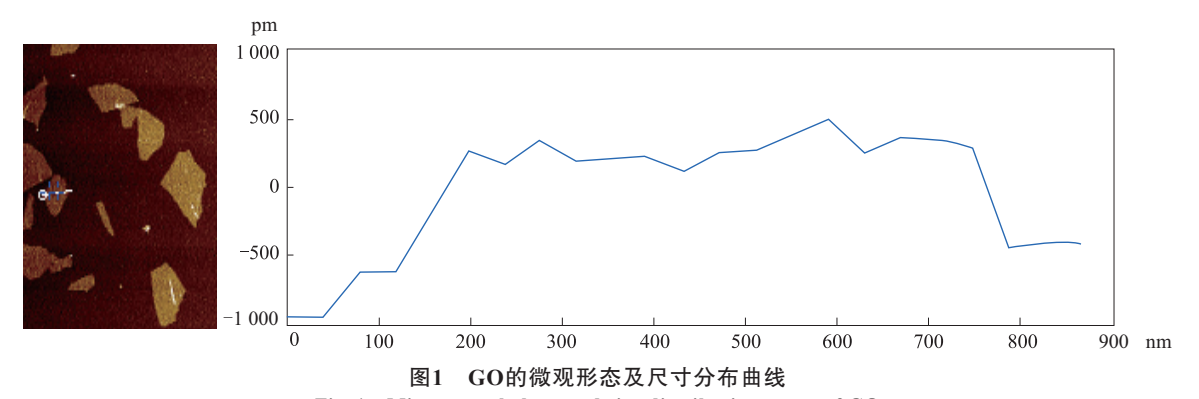


Fig. 1 Micro morphology and size distribution curve of GO

2.2 GO/FFKM复合材料的主元素分布

GO/FFKM复合材料的EDS谱如图2所示。从图2可以看出,GO/FFKM复合材料中F元素约占75%,符合半导体用氟材料的苛刻使用要求。

2.3 GO用量对GO/FFKM复合材料性能的影响

2.3.1 邵尔A型硬度

GO用量对GO/FFKM复合材料邵尔A型硬度的影响如图3所示。

从图3可以看出,随着GO用量的增大,GO/FFKM复合材料的邵尔A型硬度不变。GO是碳材料的一种,由于用量较小,因此GO用量对GO/FFKM复合材料邵尔A型硬度的影响甚微。

2.3.2 拉伸强度

GO用量对GO/FFKM复合材料拉伸强度的影响如图4所示。

从图4可以看出:随着GO用量的增大,GO/

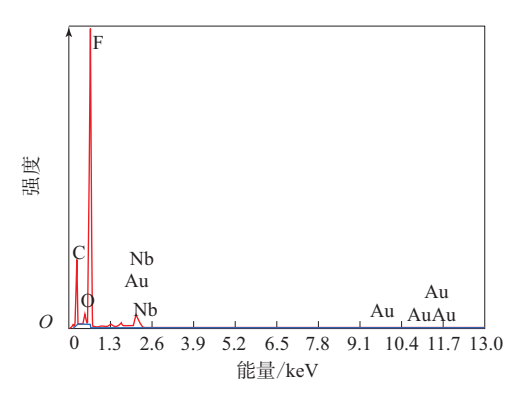


图2 GO/FFKM复合材料的EDS谱 Fig. 2 EDS spectrum of GO/FFKM composites

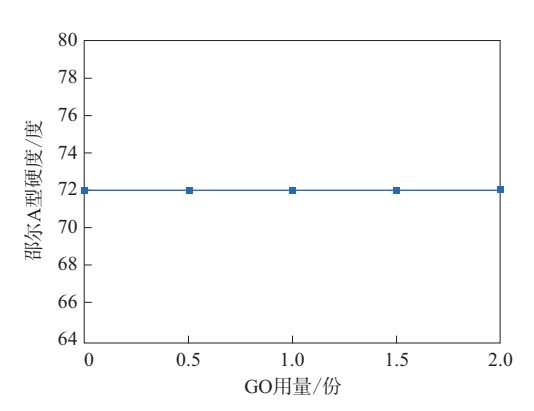


图3 GO用量对GO/FFKM复合材料硬度的影响 Fig. 3 Effect of GO dosages on hardnesses of GO/FFKM composites

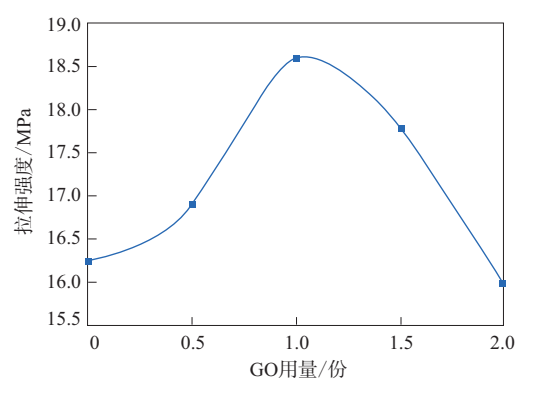


图4 GO用量对GO/FFKM复合材料拉伸强度的影响 Fig. 4 Effect of GO dosages on tensile strengths of GO/FFKM composites

FFKM复合材料的拉伸强度先增大;当GO用量达到1份时,复合材料的拉伸强度达到最大值;之后GO用量增大,复合材料的拉伸强度减小。分析认为:当GO用量为1份时,GO与FFKM的相容性最好,复合材料的拉伸强度达到最大值;之后随着GO用量的增大,GO在复合材料中的分散性变差,团聚现象增加,复合材料拉伸时产生应力集中,复

合材料的拉伸强度减小。因此,加入适量的GO对GO/FFKM复合材料有补强作用。

2.3.3 撕裂强度

GO用量对GO/FFKM复合材料撕裂强度的影响如图5所示。

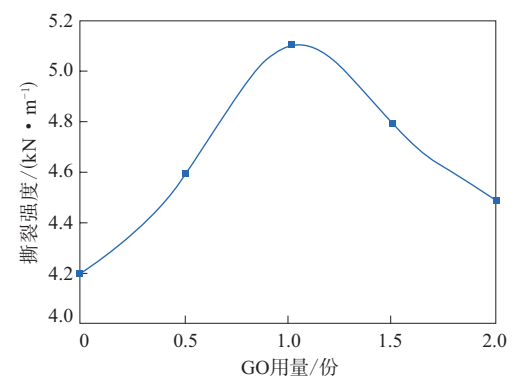


图5 GO用量对GO/FFKM复合材料撕裂强度的影响 Fig. 5 Effect of GO dosages on tear strengths of GO/FFKM composites

从图5可以看出:随着GO用量的增大,GO/FFKM复合材料的撕裂强度先增大;当GO用量达到1份时,复合材料的撕裂强度达到最大值,之后GO用量增大,GO在复合材料中的分散性变差,因此存在团聚现象,复合材料撕裂时产生应力集中,复合材料的撕裂强度减小。因此,加入适量的GO对GO/FFKM复合材料有补强作用,可提高复合材料的抗撕裂性能。

2.3.4 压缩永久变形

采用GO/FFKM复合材料经一段硫化和二段硫化制备O形圈,产品如图6所示。产品停放24 h后进行裁切制样并进行压缩永久变形测试,GO用量对GO/FFKM复合材料压缩永久变形的影响如图7所示。

从图7可以看出,随着GO用量的增大,GO/FFKM复合材料在高温下的压缩永久变形波动较小。GO/FFKM复合材料在200和300℃下弹性超过其他弹性体,达到了半导体加工工艺中高温苛刻的环境要求。

2.3.5 耐介质性能

GO/FFKM复合材料的耐介质性能如表1所示(GO用量为1份)。

从表1可以看出,GO/FFKM复合材料在KOH溶液、HF溶液以及半导体工业用APM-SC1清洗液



图6 GO/FFKM复合材料制备的O形圈 Fig. 6 O-ring made of GO/FFKM composites

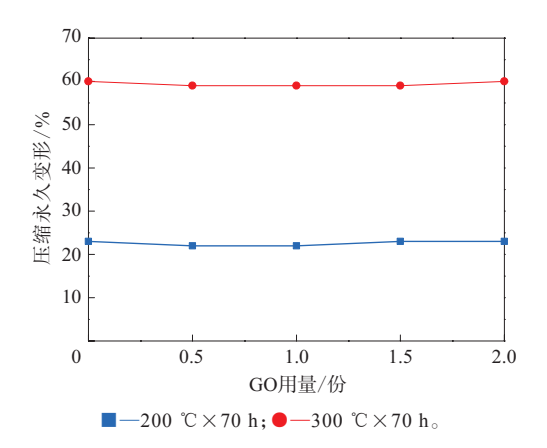


图7 GO用量对GO/FFKM复合材料压缩永久变形的影响 Fig. 7 Effect of GO dosages on compression sets of GO/FFKM composites

表1 GO/FFKM复合材料的耐介质性能 Tab.1 Dielectric resistance of GO/FFKM composites

项 目 -	浸泡溶液及条件				
	A	В	С	D	Е
邵尔A型硬度变化/度	-6	+4	+8	+7	-4
拉伸强度变化率/%	-1	0	+1	+1	+1
体积变化率/%	+0.2	-0.4	0	-0.2	+0.2

注: A—KOH溶液 (质量分数为50%),125 $\mathbb{C} \times 168 \text{ h; B}$ —HF溶液 (质量分数为49%),23 $\mathbb{C} \times 720 \text{ h; C}$ —APM-SC1清洗液 [NH₄OH (质量分数为29%)/H₂O₂ (质量分数为30%)/H₂O体积比为1/1/5],23 $\mathbb{C} \times 720 \text{ h; D}$ —HPM-SC2清洗液[HCI(质量分数为37%)/H₂O₂ (质量分数为30%)/H₂O体积比为1/1/6],23 $\mathbb{C} \times 720 \text{ h; E}$ —SPM-Piranha fluid清洗液[H₂SO₄ (质量分数为96%)/H₂O₂ (质量分数为30%)体积比为5/1],23 $\mathbb{C} \times 720 \text{ h}$ 。

HPM-SC2清洗液和SPM-Piranha fluid清洗液等强酸、强碱、强氧化性介质中具有较小的硬度变化、拉伸强度变化率和体积变化率,可满足半导体刻蚀、清洗等加工工艺要求。

3 结论

(1) 本研究选用的GO为单片层, 具有良好的

补强作用,是一种优异的补强材料,可替代炭黑作为补强剂使用;当GO用量为1份时,GO/FFKM复合材料的拉伸强度达到最大值。

- (2)GO作为填料克服了纯FFKM胶料抗撕裂性能差的不足,GO/FFKM复合材料较好的抗撕裂性能有利于O形圈一段硫化脱模。
- (3)GO作为填料可使GO/FFKM复合材料具有高温下优良的抗压缩永久变形性能。采用GO/FFKM复合材料制备的O形圈在高温下具有优异的密封性能,适用于半导体加工工艺的高温苛刻环境。
- (4) GO作为填料可使GO/FFKM复合材料具有优异的耐半导体工业用清洗液等强酸、强碱、强氧化性介质性能,适合用作半导体加工用密封材料。

参考文献:

(10):20-26.

- [1] 苏玉仙,涂菁婉,郑龙,等. 氧化石墨烯/白炭黑复合填料的制备及 其在丁苯橡胶复合材料中的应用[J]. 橡胶工业,2020,67(1):10-16
 - SU Y X, TU J W, ZHENG L, et al. Preparation of graphene oxide/silica composite filler and its application in SBR composite[J]. China Rubber Industry, 2020, 67 (1):10–16.
- [2] 张雷,马建中,张跃宏,等. 聚合物基氧化石墨烯纳米复合材料研究 进展[J]. 精细化工,2020,37(11):2161-2171.
 - ZHANG L, MA J Z, ZHANG Y H, et al. Research progress of polymer–based graphene oxide nanocomposites[J]. Fine Chemicals, 2020, 37 (11):2161–2171.
- [3] 侯永刚, 吕生华, 张佳, 等. 氧化石墨烯复合材料研究进展[J]. 化工新型材料, 2019, 40(10): 20-26.

 HOU Y G, LYU S H, ZHANG J, et al. Research progress of graphene oxide composite[J]. New Chemical Materials, 2019, 40
- [4] 刘桂艳. 氧化石墨烯/环氧树脂复合材料特性研究[J]. 塑料科技, 2020,48(4):10-13.
 - LIU G Y. Study on properties of graphene oxide/epoxy composites[J]. Plastics Science and Technology, 2020, 48 (4): 10–13
- [5] 任翰,曲楠楠,王云娜.氧化石墨烯增强聚氨酯阻燃及力学性能研究[J]. 塑料科技,2020,48(5):19-21.
 - REN H, QU N N, WANG Y N. Study on flame retardant and mechanical properties of graphene oxide reinforced polyurethane[J]. Plastics Science and Technology, 2020, 48 (5):19–21.
- [6] 李超群,李映虎,廖双泉,等. 乳液法制备天然橡胶/丁苯橡胶/石墨 烯纳米复合材料及性能研究[J]. 广东化工,2013,40(18):18–19. LI C Q, LI Y H, LIAO S Q, et al. The electrical property of SBR/ NR/graphene nanocomposites prepared through emulsion method[J].

- Guangdong Chemical Industry, 2013, 40 (18):18-19.
- [7] 戚梦雨,李树慧,杜育芝,等.石墨烯基纳米复合材料的研究进展[J].功能材料,2017,48(3):42-49.
 - QI M Y, LI S H, DU Y Z, et al. Research progress of the graphene-based nano-composites[J]. Journal of Functional Materials, 2017, 48 (3):42–49.
- [8] 王建功,黄义钢,王静,等. 石墨烯/废旧轮胎裂解炭黑在半钢子午 线轮胎胎面胶中的应用[J]. 轮胎工业,2019,39(3):153-156. WANG J G, HUANG Y G, WANG J, et al. Application of graphene/ pyrolytic carbon black from waste tires in tread compound of steelbelted radial tire[J]. Tire Industry,2019,39(3):153-156.
- [9] 肖风亮. Kalrez(R) 全氟弹性体系列专题讲座(五) Kalrez(R) 在半导体工业中的应用[J]. 世界橡胶工业,2007,34(2):1-6.

 XIAO F L. Lecture on Kalrez(R) perfluoroelastomer V: Kalrez(R) for semiconductor applications[J]. World Rubber Industry, 2007, 34 (2):1-6.
- [10] 李振环,孔建,杨家义,等. 全氟醚橡胶制品的应用及案例失效分析[J]. 液压气动与密封,2012,32(1):48-51.

 LI Z H, KOU J, YANG J Y, et al. The application and failure analysis of perfluoroelastomers product[J]. Hydraulics Pneumatics & Seals,2012,32(1):48-51.
- [11] 李京亚, 辛虎, 乔姣飞. 全氟聚醚橡胶防护脂的制备及性能[J]. 合成润滑材料, 2019, 46 (4):13-14.

 LI J Y, XIN H, QIAO J F. Preparation and properties of perfluoropolyether rubber protective grease[J]. Synthetic Lubricants, 2019, 46 (4):13-14.
- [12] 常新龙,姜帆. 高温、湿热环境下氟橡胶密封圈失效研究[J]. 装备 环境工程,2012,9(1):23-25,38. CHANG X L, JIANG F. Analysis of fluorine rubber O-ring under
 - high temperature and hygrothermal environment[J]. Equipment Environmental Engineering, 2012, 9(1):23–25,38.

- [13] 钱丽丽,黄承亚. 氟橡胶硫化体系的改进及应用[J]. 合成材料老化与应用,2008,37(1):45-50.
 - QIAN L L, HUANG C Y. Improvement of fluoroelastomer's vulcanization system[J]. Synthetic Materials Aging and Application, 2008, 37 (1):45–50.
- [14] 李振环. 全氟醚橡胶的性能及应用[J]. 流体机械,2006,34(12):52-55.
 - LI Z H. Performance and application of perfluoroelastomers[J]. Fluid Machinery, 2006, 34 (12):52–55.
- [15] 柳洪超, 吴立军, 尤瑜生, 等. 氟醚橡胶的性能及其应用[J]. 化工新型材料, 2007, 35(4):11-12, 24.
 LIU H C, WU L J, YOU Y S, et al. Property and application of
 - LIU H C, WU L J, YOU Y S, et al. Property and application of fluoroether rubber[J]. New Chemical Materials, 2007, 35 (4):11–12,24.
- [16] 赵云峰, 吴福迪, 任淑媛. 新型氟醚橡胶密封材料[J]. 特种橡胶制品, 2002, 23(1): 29-30, 28.

 ZHAO Y F, WU F D, REN S Y. New sealing material of fluorinether
- [17] 张建新,李斌,兰军,等. 各种单体对耐低温氟醚橡胶性能的影响[J]. 化工新型材料,2011,39(1):122-125.
 ZHANG J X,LI B,LAN J,et al. The effect of various comonomer

rubber[J]. Special Purpose Rubber Products, 2002, 23 (1): 29-30, 28.

- on character of the fluoroether rubber having resistance to low temperatures[J]. New Chemical Materials, 2011, 39 (1):122–125.
- [18] 林孔勇,金晟娟,梁星宇. 橡胶工业手册(修订版) 第六分册 工业 橡胶制品[M]. 北京: 化学工业出版社, 1989.
- [19] 孙晓君, 蔡伟民, 井立强, 等. 二氧化钛半导体光催化技术研究进展[J]. 哈尔滨工业大学学报, 2001, 33(4):534-541.

 SUN X J, CAI W M, JING L Q, et al. Titanium dioxide photacatalystic technique at home and abroad[J]. Journal of Harbin Institute of Technology, 2001, 33(4):534-541.

收稿日期:2021-12-10

Application of Graphene Oxide in Perfluoroether Rubber Materials of O-ring for Semiconductor Processing

ZHANG Shixin¹, WEI Haidong¹, CHU Min²

(1. Zhejiang Chuangcheng Polymer Material Co., Ltd, Shaoxing 310000, China; 2. Beijing Research and Design Institute of Rubber Industry Co., Ltd, Beijing 100143, China)

Abstract: The effects of the dosage of graphene oxide (GO) on the physical properties, compression set and dielectric resistance of GO/perfluoroether rubber (FFKM) composites were studied. The results showed that with the increase the dosage of GO, the shore A hardness and high temperature compression set of the GO/FFKM composites changed little, and the tensile strength and tear strength increased at first and then decreased. When the dosage of GO was 1 phr, the tensile strength and tear strength of the GO/FFKM composites were the largest and the dielectric resistance was better. The GO/FFKM composites were suitable for the O-rings for semiconductor processing.

Key words: graphene oxide; perfluoroether rubber; composite; O-ring; compression set; dielectric resistance